

基础研究



DOI: 10.3969/j.issn.2095-1264.2023.02.06

文章编号: 2095-1264(2023)02-0167-06

## 低 pH 插入肽-蛋白酶激活受体 1 复合物抑制三阴性乳腺癌 MDA-MB-231 细胞增殖的实验研究\*

陈月华<sup>1</sup>, 王振光<sup>2</sup>, 李大成<sup>2</sup>, 于明明<sup>2\*</sup>

(青岛大学附属医院<sup>1</sup>重症医学科, <sup>2</sup>核医学科, 山东青岛, 266100)

**摘要:** 目的 观察低 pH 插入肽-蛋白酶激活受体 1(pHLIP-P1AP)复合物对三阴性乳腺癌(TNBC)MDA-MB-231 细胞增殖的影响。方法 设计、合成荧光标记的 pHLIP-P1AP。观察 MDA-MB-231 细胞与 MCF-10A 细胞表面蛋白酶激活受体 1(PAR1)的表达情况。分析不同 pH 值(7.4、6.0)条件下荧光标记的 pHLIP-P1AP 与 MDA-MB-231 细胞的结合情况及其对 MDA-MB-231 细胞增殖的影响。结果 成功合成了 pHLIP-P1AP 并进行荧光标记。在酸性环境下(pH 6.0), 荧光标记的 pHLIP-P1AP 与表面高表达 PAR1 的 MDA-MB-231 细胞有较强的结合能力, 可明显抑制 MDA-MB-231 细胞的增殖, pHLIP-P1AP 为 0.5 μg、1 μg、2 μg、4 μg、8 μg 时, 细胞的增殖抑制率分别为 3.39%, 5.27%, 14.29%, 22.14%, 35.69%。结论 MDA-MB-231 细胞表面表达大量的 PAR1。pHLIP-P1AP 在酸性环境下能够有效靶向 MDA-MB-231 细胞, 并抑制 MDA-MB-231 细胞的生长, 有望成为治疗 TNBC 的有价值的新型药物。

**关键词:** 低 pH 插入肽; 蛋白酶激活受体 1; 三阴性乳腺癌; 细胞增殖

**中图分类号:** R737.9 **文献标识码:** A

## The inhibitory effects of pHLIP-P1AP on the proliferation of triple-negative breast cancer MDA-MB-231 cells\*

CHEN Yuehua<sup>1</sup>, WANG Zhengguang<sup>2</sup>, LI Dacheng<sup>2</sup>, YU Mingming<sup>2\*</sup>

(<sup>1</sup>Intensive Care Unit, <sup>2</sup>Nuclear Medicine Department, the Affiliated Hospital of Qingdao University, Qingdao, 266100, Shandong, China)

**Abstract: Objective** To observe the effects of pHLIP [pH (low) insertion peptide]-P1AP on the proliferation of triple-negative breast cancer (TNBC) MDA-MB-231 cells. **Methods** Fluorescent-labeled pHLIP-P1AP was designed and synthesized. Protease-activated receptor 1 (PAR1) expression on the surface of MDA-MB-231 cells and human MCF10A mammary epithelial cells were observed. The binding between fluorescent-labeled pHLIP-P1AP and MDA-MB-231 cells under different pH values (pH=7.4, 6.0) was analyzed. The effects of pHLIP-P1AP on the proliferation of MDA-MB-231 cells was analyzed under the conditions of pH 7.4 and 6.0. **Results** pHLIP-P1AP was successfully synthesized and fluorescent-labeled. PAR1 was highly expressed on the surface of MDA-MB-231 cells. In an acidic environment (pH 6.0), fluorescent-labeled pHLIP-P1AP and MDA-MB-231 cells had a high binding ability. In an acidic environment (pH 6.0), pHLIP-P1AP significantly inhibited the proliferation of MDA-MB-231 cells. With 0.5 μg, 1 μg, 2 μg, 4 μg, and 8 μg of pHLIP-P1AP, the cell proliferation inhibition rates were 3.39%, 5.27%, 14.29%, 22.14%, and 35.69%, respectively. **Conclusion** PAR1 was highly expressed on the surface of MDA-MB-231 cells. pHLIP-P1AP can effectively target MDA-MB-231 cells in an acidic environment and inhibit the growth of MDA-MB-231 cells. Therefore, pHLIP-P1AP is expected to be a valuable new drug in the treatment of TNBC.

**Keywords:** pH (low)insertion peptide; Protease-activated receptor 1; Triple-negative breast cancer; Cell proliferation

\*基金项目: 山东省医药卫生科技发展计划项目(202009040347)。

作者简介: 陈月华, 女, 硕士, 副主任医师, 研究方向: 内科学。

## 引言

三阴性乳腺癌 (triple-negative breast cancer, TNBC) 是指雌激素受体 (estrogen receptor, ER)、孕激素受体 (progesterone receptor, PR) 和表皮生长因子受体 2 (human epidermal growth factor receptor 2, HER-2) 均为阴性的乳腺癌，在所有乳腺癌患者中占 15%~20%。TNBC 具有侵袭性强、进展快和预后差等临床特点，乳腺癌治疗常用的内分泌治疗和靶向治疗对 TNBC 无效，因此，迫切需要针对 TNBC 开发新的治疗药物，以改进治疗策略<sup>[1]</sup>。

蛋白酶激活受体 1 (protease-activated receptor 1, PAR1) 参与多种肿瘤的侵袭和转移过程，包括 TNBC，是治疗肿瘤的潜在靶点<sup>[2]</sup>。Pepducin PZ-128 是棕榈酰化的肽，由脂质部分和 PAR1 同源蛋白片段 P1AP 组成。有研究显示，PZ-128 能够通过靶向 PAR1 的第三细胞内环抑制肿瘤细胞中的 PAR1/G 蛋白信号转导<sup>[2]</sup>。但 PZ-128 对肿瘤细胞不具有选择性，也可与人体正常细胞结合，因此 PZ-128 的不良反应较大、药理活性较弱。若能寻找一种新的载体将 P1AP 运送至肿瘤细胞内，可大大提高 P1AP 靶向治疗肿瘤的作用。

低 pH 插入肽 [pH (low) insertion peptide, pHLIP] 家族来源于细菌视紫红质 C-螺旋，是一类可以靶向酸性肿瘤微环境 (tumor microenvironment, TME) 的新型载体<sup>[3-4]</sup>，靶向的分子机制是基于 pHLIP 在 pH 值较低的 TME 中插入肿瘤细胞膜并形成 pH 依赖性跨膜 α-螺旋<sup>[5]</sup>。pHLIP 将其 C 末端穿过细胞膜插入肿瘤细胞内，标记其 C 末端能够达到将治疗性分子运送到肿瘤细胞内的目的，并避免耐药，使 P1AP 高效积聚于肿瘤细胞内，达到更佳的治疗效果。

在本研究中，我们设计将 pHLIP 的 C 端与 P1AP 的 N 端通过二硫键连接起来，得到 pHLIP-P1AP 复合物。通过实验验证 pHLIP 是否能够将其 C 端连接的 P1AP 运送至 TNBC 细胞株 MDA-MB-231 内，并通过靶向 PAR1 的细胞内环抑制 PAR1/G 蛋白信号转导，探讨其对 TNBC 的治疗作用。

## 1 材料与方法

**1.1 材料** PAR1 兔单克隆抗体 (Affinity Biosciences, 江苏常州)；Cy3 标记山羊抗兔 IgG (江苏康为世纪生物科技有限公司, 江苏泰州)；4,6-二脒基-2-苯基吲哚 (DAPI) (南京凯基生物技术发展有限公司, 江苏南

京)；3-(4,5-二甲基噻唑-2)-2,5-二苯基四氮唑溴盐 (MTT) [西格玛奥德里奇 (上海) 贸易有限公司, 上海]。

**1.2 (FITC)pHLIP-P1AP 的设计、合成及纯化** 通过固相多肽合成法分别合成 pHLIP (Var7) Cys 与 CysP1AP 序列。pHLIP(Var7)Cys: AEEQNPWARYLEWLFPPTETLLLELC；CysP1AP: CKKSRALF。将 pHLP (Var7)Cys 与 CysP1AP 通过二硫键连接，得到 pHLIP-P1AP 序列，在 pHLIP-P1AP 的 N 端标记异硫氰酸荧光素 (fluorescein isothiocyanate, FITC)，C 端进行酰胺化修饰，最终得到 (FITC)pHLIP-P1AP：(FITC)AE-EQNPWARYLEWLFPPTETLLLELC-CKKSRALF。将多肽通过反相高效液相色谱 (reversed phase high performance liquid chromatography, RP-HPLC) 纯化 (Gemini NX 10 μ C18 100A, 4.6 mm×250 mm, 流速 1.0 mL·min<sup>-1</sup>)，测定其纯度，并采用电喷雾电离质谱法 (electrospray ionization mass spectrometry, ESI-MS) 进行质谱分析。

**1.3 细胞培养及细胞表面 PAR1 表达情况** 人乳腺癌细胞系 MDA-MB-231 和人正常乳腺细胞 MCF-10A 购自中国科学院细胞研究所。MDA-MB-231 细胞培养条件：用含 10% 小牛血清的 L-15 培养基，于 37 °C、无 CO<sub>2</sub> 条件下培养。MCF-10A 细胞培养条件：DMEM/F12 (1:1) 培养基 + 马血清 (5%) + 胰岛素 (10 μg·mL<sup>-1</sup>) + 表皮生长因子 (20 ng·mL<sup>-1</sup>) + 霍乱毒素 (100 ng·mL<sup>-1</sup>) + 氢化可的松 (0.5 μg·mL<sup>-1</sup>)，在 37 °C, 5% CO<sub>2</sub> 条件下培养。

在培养板中将达到细胞饱和密度的培养皿用 PBS 浸洗 3 次；用 4% 多聚甲醛固定 15 min，PBS 浸洗培养皿 3 次；0.5% Triton X-100 (PBS 配制) 室温通透 20 min。PBS 浸洗培养皿 3 次；在培养皿内滴加 5% BSA，37 °C 封闭 30 min。用移液枪吸掉封闭液，在培养皿内滴加足够量稀释好的 PAR1 兔单克隆抗体 (1:200)，37 °C 孵育 3 h；PBS 浸洗培养皿 3 次，滴加稀释好的荧光 Cy3 标记山羊抗兔 IgG (1:200)，37 °C 孵育 30 min，PBS 浸洗培养皿 3 次。滴加 DAPI 避光孵育 5 min，对标本进行染核，用 PBS 冲洗多余的 DAPI；用 50% 甘油封闭培养皿，然后在荧光显微镜 (OLYMPUS) 下观察并采集图像。

**1.4 (FITC)pHLIP-P1AP 与 MDA-MB-231 细胞结合分析** 将 MDA-MB-231 细胞以 5.0×10<sup>4</sup> 个/孔接种在 24 孔板中。细胞附着于平板后，除去培养基，用磷酸盐缓冲液 (25 mmol·L<sup>-1</sup>, pH 7.4) 洗涤细胞。将

细胞分为两组,将 pH 值为 7.4、6.0 的 pH 特异性 L-15 培养基分别加入孔中,置于 37 °C、无 CO<sub>2</sub> 环境下孵育过夜。向每孔中加入 30 μL 100 nmol·L<sup>-1</sup> 的 (FITC) pHLIP-P1AP, 然后将 24 孔板置于培养箱内的摇动混合器中 2 h。用相应的 pH 值(7.4、6.0)特异性磷酸盐缓冲液(25 mmol·L<sup>-1</sup>)洗涤所有细胞 5 次以除去任何未结合的探针,然后进行细胞荧光显像。

**1.5 抗增殖实验** 将 MDA-MB-231 人乳腺癌细胞以  $5.0 \times 10^4$  个/孔接种在 24 孔板中。细胞附着于平板后,除去培养基,用磷酸盐缓冲液(25 mmol·L<sup>-1</sup>, pH 7.4)洗涤细胞。将 pH 值为 7.4、6.0 的 L-15 培养基分别加入孔中,置于 37 °C、无 CO<sub>2</sub> 环境下孵育过夜。将不同量的 pHLIP-P1AP(0 μg、0.5 μg、1 μg、2 μg、4 μg、8 μg)分别加入孔中,然后将 24 孔板置于培养箱内培养 72 h。用相应的 pH 值(7.4、6.0)特异性磷酸盐缓冲液(25 mmol·L<sup>-1</sup>)洗涤所有细胞 5 次以除去任何未结合的探针。使用比色 MTT 测定法测定细胞活力,将 20 μL 5 mg·mL<sup>-1</sup> MTT 溶液加入细胞中,37 °C 孵育 4 h。将所得的晶体溶解于 150 μL

DMSO 中,并使用酶标仪在 490 nm 处测量吸光度,计算细胞增殖抑制率。

**1.6 统计学分析** 采用 SPSS 24.0.0.0(IBM)统计学软件进行数据处理。变量以均数±标准差( $\bar{x} \pm s$ )表示。采用 one-way ANOVA 进行变量的比较,  $P < 0.05$  被认为差异具有统计学意义。

## 2 结果

**2.1 (FITC)pHLIP-P1AP 的合成及纯化** 成功合成 (FITC) pHLIP-P1AP, 简言之, pHLIP(Var7) Cys 和 CysP1AP 通过固相多肽合成法合成, 通过氧化反应使两条肽之间形成二硫键, 得到 pHLIP-P1AP, 在 pHLIP-P1AP 的 N 端标记 FITC, 得到 (FITC) pHLIP-P1AP。(FITC)pHLIP-P1AP 的 RP-HPLC 分析显示有 1 个主峰(96.877 7%, 11.193 min)和 2 个较小的杂质峰(图 1A); ESI-MS 分析显示 3 个质谱峰,  $m/z$  分别为 753.8([ $m+6H$ ]6+)、904.3([ $m+5H$ ]5+)、1 130.2([ $m+4H$ ]4+)(图 1B)。实测分子量(4 516.8、4 516.5)与理论分子量(4 517.17)基本相符。

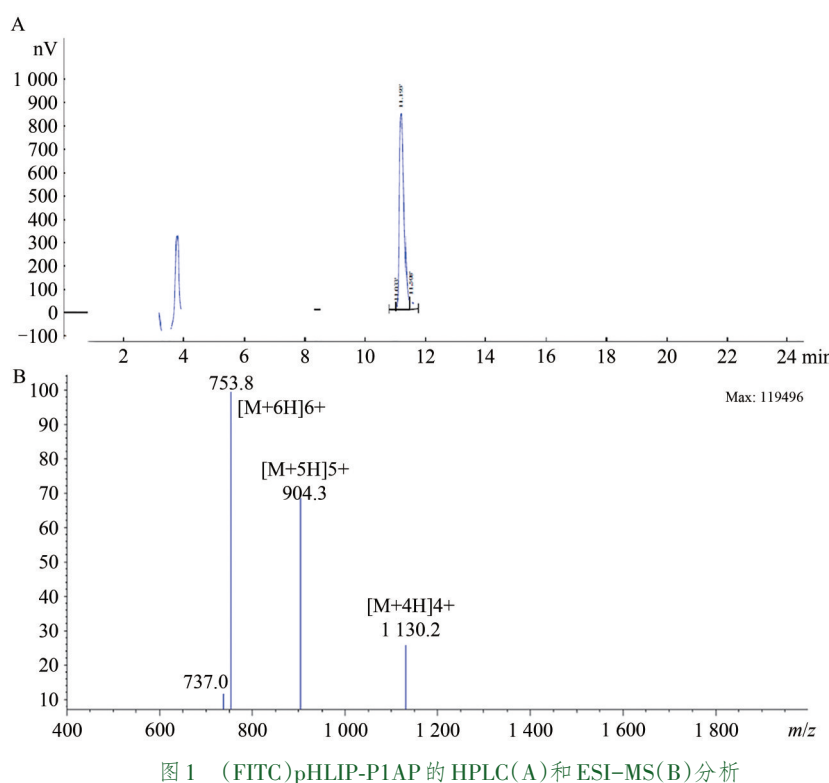


图 1 (FITC)pHLIP-P1AP 的 HPLC(A) 和 ESI-MS(B) 分析

Fig. 1 HPLC (a) and ESI-MS (b) analysis of (FITC)pHLIP-P1AP

**2.2 MDA-MB-231 和 MCF-10A 细胞表面 PAR1 表达** MDA-MB-231 细胞高表达 PAR1, 而 MCF-10A 细胞中 PAR1 表达水平较低(图 2)。半定量分

析显示, MDA-MB-231 细胞相对荧光强度/细胞为 ( $100.00 \pm 3.53\%$ ), MCF-10A 细胞的相对荧光强度/细胞为 ( $39.04 \pm 5.70\%$ ), 前者明显高于后者, 差异有统

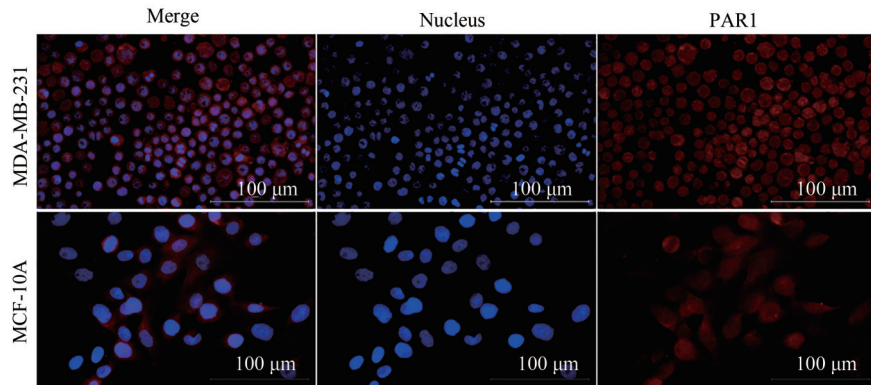


图 2 MDA-MB-231 和 MCF-10A 细胞表面 PAR1 的表达情况(400 倍)

Fig. 2 PAR1 expression in MDA-MB-231 and MCF-10A cells (400 $\times$ )

计学意义( $F=254.629, P<0.01$ )。

### 2.3 (FITC)pHLIP-P1AP 与 MDA-MB-231 细胞结合分析 在酸性 pH 下(pH 6.0),探针与 MDA-

MB-231 细胞有较高的结合能力;在 pH 7.4 时,探针与 MDA-MB-231 细胞仅有轻微的结合(图 3)。

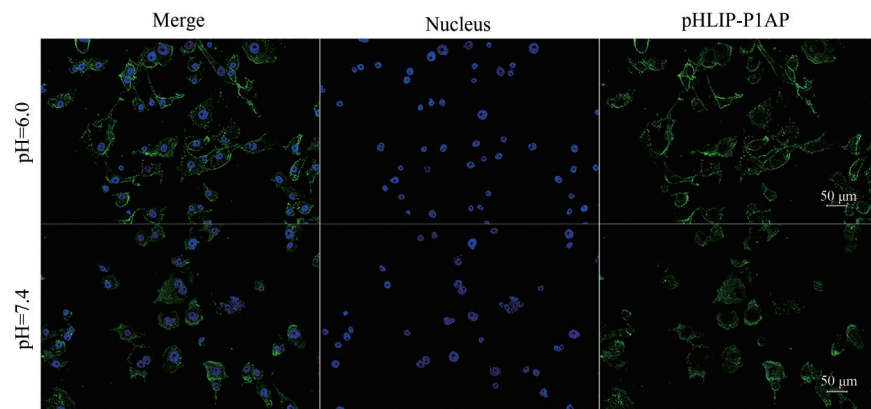


图 3 (FITC)pHLIP-P1AP 与 MDA-MB-231 细胞结合的荧光显像(200 倍)

Fig. 3 Fluorescence imaging of (FITC)pHLIP-P1AP binding to MDA-MB-231 cells (200 $\times$ )

**2.4 抗增殖实验** 与 pH 7.4 时相比,pH 6.0 时 pHLIP-P1AP 可明显抑制 MDA-MB-231 细胞增殖( $P<0.05$ )(图 4)。在 pH 6.0, 探针剂量为 0.5  $\mu$ g、1  $\mu$ g、2  $\mu$ g、4  $\mu$ g、8  $\mu$ g 时, MDA-MB-231 细胞增殖抑制率分别为:( $3.39\pm0.7\%$ )、( $5.27\pm1.1\%$ )、( $14.29\pm0.1\%$ )、( $22.14\pm1.2\%$ )、( $35.69\pm1.2\%$ )。

## 3 讨论

TNBC 发病年龄较小,早期易发生转移,因缺乏相应的受体导致常规治疗无效,已成为乳腺癌治疗领域的难点和研究热点<sup>[1]</sup>。PAR1 是一种 G 蛋白偶联受体(G protein-coupled receptor, GPCR),存在于多种肿瘤细胞表面,是肿瘤的潜在治疗靶点<sup>[2]</sup>。本研究通过免疫组化证实 TNBC MDA-MB-231 细胞表面存在大量 PAR1,而正常人乳腺细胞 MCF-10A

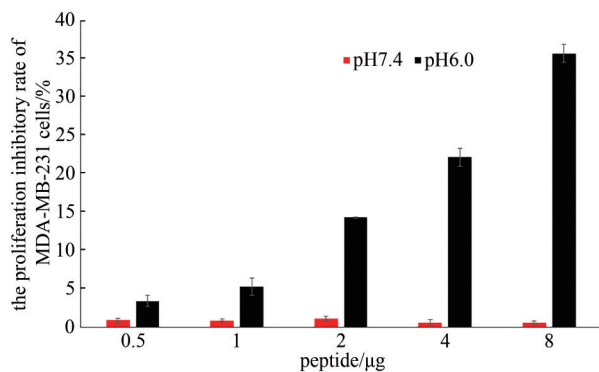


图 4 不同 pH 值条件下 pHLIP-P1AP 对 MDA-MB-231 细胞增殖的影响

Fig. 4 The effects of pHLIP-P1AP on the proliferation of MDA-MB-231 cells under different pH conditions

细胞表面基本未见 PAR1 表达,因此,PAR1 有望成为 TNBC 诊断、治疗的潜在靶点。

PAR1 抑制剂 PZ-128 是一类脂化肽,能够进入细胞内并抑制 PAR1/G 蛋白信号转导<sup>[2]</sup>。PZ-128 目前处于Ⅱ期临床试验阶段,正在开发其通过靶向血小板表面 PAR1 抑制血小板功能的作用,对于急性冠状动脉综合征(acute coronary syndromes, ACS)患者和接受冠状动脉介入治疗(percutaneous coronary intervention, PCI)患者的有效治疗至关重要<sup>[6]</sup>。另外有研究证实,PZ-128 可以抑制乳腺癌、肺癌、卵巢癌的生长和转移<sup>[7]</sup>。PZ-128 与 GPCR 确切的作用机制仍不清楚,但有研究者提出,肽可以直接与其同源受体相互作用,使受体处于活性或非活性构象<sup>[8]</sup>。PZ-128 并不能特异性靶向肿瘤细胞,如果能利用特异性靶向肿瘤的载体代替棕榈酸,将 P1AP 运送至肿瘤细胞内,则可以最大程度避免探针进入正常细胞内从而减少不良反应的发生。

TME 的特征是呈酸性<sup>[9-10]</sup>。几乎所有实体肿瘤细胞内 pH 为中性或碱性,而细胞外 pH 为酸性,可低至 6.0<sup>[11-13]</sup>。TME 呈酸性的机制包括缺氧引起的无氧糖酵解、有氧糖酵解(Warburg 效应)、失控的细胞生长导致的 CO<sub>2</sub> 产生增加,以及细胞膜上离子泵活性增加<sup>[9, 11]</sup>。酸性 TME 具有稳定性,不受肿瘤克隆选择的影响,因此也被认为是有前景的肿瘤靶向检测标志物<sup>[3, 5]</sup>。研究显示,pHLIP 家族肽能够靶向 TME,该肽来源于细菌视紫红质 C-螺旋,最初被称为 BRC 肽<sup>[14]</sup>。pHLIP 能够感应细胞膜附近的 pH 值,当细胞外环境呈酸性时可自发插入细胞膜中并形成螺旋结构<sup>[15]</sup>。pHLIP 的最大优势之一是能够将极性和中度疏水的分子直接运送到细胞内,避免了因细胞内吞产生的耐药性。许多研究表明,pHLIP 可以连接多种不同的分子,如荧光染料、毒素、药物、肽和肽核酸等<sup>[16-23]</sup>。pHLIP 变体中有 4 条序列具有较高的肿瘤靶向性:野生型(WT)、变体 3(Var3)、变体 7(Var7)及 ATRAM<sup>[24]</sup>。有研究通过一种不可切割连接子(chloro-acetylchloride)将 pHLIP(WT)与 P1AP 肽连接起来,得到 pHLIP(WT)-P1AP,可以抑制高表达 PAR1 受体的人乳腺癌细胞 MDA-MB-231 和 MCF7 的生长<sup>[21]</sup>。我们在此研究的基础上做了一些改动:(1)本研究选用的载体是 pHLIP 家族 Var7 序列。pHLIP(Var7)是靶向肿瘤的 pHLIP 家族中最短、极性最强的肽序,具有容易合成、血液清除快等优点,最初应用于靶向 GPCR 的研究。血液清除快能够提高显像剂的靶/非靶比值,提高显像质量,这一特点提示 pHLIP(Var7)也有成为显像剂的潜力

(如通过荧光标记、放射性核素标记等),从而兼顾肿瘤的显像与治疗。(2)利用二硫键代替 chloro-acetylchloride 连接 pHLIP(Var7)与 P1AP 肽,二硫键可在细胞内裂解,从而将 P1AP 送至细胞内,该方法简化了 pHLIP-P1AP 的合成,有利于推广。

本研究细胞结合实验显示,(FITC) pHLIP-P1AP 与 MDA-MB-231 细胞在酸性环境下(pH 6.0)有较高的结合能力,在 pH 7.4 时基本上没有结合,提示 pHLIP 可以靶向酸性组织,与既往关于 pHLIP 的研究结果一致。抗增殖试验显示,pH 为 6.0 时,pHLIP-P1AP 可以显著抑制 MDA-MB-231 细胞的生长,提示在酸性条件下 pHLIP 可以有效地将 P1AP 运送至 MDA-MB-231 细胞内,二硫键裂解并释放 P1AP,通过抑制 PAR1/G 蛋白信号转导起到细胞毒性作用。

本研究在前人的研究基础上设计合成了可抑制 MDA-MB-231 细胞生长的新型治疗性分子 pHLIP-P1AP,从细胞水平证实 pHLIP-P1AP 能够靶向 MDA-MB-231 细胞并有效抑制其生长,但能否抑制 TNBC 实体肿瘤的生长尚不清楚。由于条件限制,本研究没有进行动物水平的治疗性研究,在条件允许时将会进行后续研究,也希望其他的研究者能够对本研究进行补充。

## 4 结论

目前,TNBC 缺乏有效的临床治疗手段,患者预后较差。新型靶点的开发对 TNBC 未来的治疗策略具有重要意义。MDA-MB-231 细胞表面表达大量 PAR1,可以将 PAR1 作为其治疗靶点。pHLIP-P1AP 在酸性环境下能够有效靶向 MDA-MB-231 细胞,并通过抑制 PAR1/G 蛋白信号转导抑制 MDA-MB-231 细胞的生长,有望成为治疗 TNBC 有价值的新型药物。

## 参考文献

- [1] WANG X R, LIU Y P. PD-L1 expression in tumor infiltrated lymphocytes predicts survival in triple-negative breast cancer [J]. Pathol Res Pract, 2020, 216(3): 152802. DOI: 10.1016/j.prp.2019.152802.
- [2] YANG E, BOIRE A, AGARWAL A, et al. Blockade of PAR1 signaling with cell-penetrating pepducins inhibits Akt survival pathways in breast cancer cells and suppresses tumor survival and metastasis [J]. Cancer Res, 2009, 69(15): 6223-6231. DOI: 10.1158/0008-5472.CAN-09-0187.
- [3] VILA-VIÇOSA D, SILVA T F D, SLAYBAUGH G, et al. Membrane-induced pK<sub>a</sub> shifts in wt-pHLIP and its L16H variant [J]. J Chem Theory Comput, 2018, 14(6): 3289-3297. DOI: 10.1021/acs.jctc.8b00102.

- [4] CHITRAK, GUPTA, . Cooperative nonbonded forces control membrane binding of the pH-low insertion peptide pH-LIP [J]. *Biophys J*, 2018, 115(12): 2403–2412. DOI: 10.1016/j.bpj.2018.11.002.
- [5] BAÑÓ-POLO M, MARTÍNEZ-GIL L, BARRERA F N, et al. Insertion of bacteriorhodopsin helix C variants into biological membranes [J]. *ACS Omega*, 2019, 5(1): 556–560. DOI: 10.1021/acsomega.9b03126.
- [6] ZHANG P, GRUBER A, KASUDA S, et al. Suppression of arterial thrombosis without affecting hemostatic parameters with a cell-penetrating PAR1 pepducin [J]. *Circulation*, 2012, 126(1): 83–91. DOI: 10.1161/CIRCULATIONAHA.112.091918.
- [7] COVIC L, KULIOPULOS A. Protease-activated receptor 1 as therapeutic target in breast, lung, and ovarian cancer: pepducin approach [J]. *Int J Mol Sci*, 2018, 19(8): 2237. DOI: 10.3390/ijms19082237.
- [8] DIMOND P, CARLSON K, BOUVIER M, et al. G protein-coupled receptor modulation with pepducins: moving closer to the clinic [J]. *Ann N Y Acad Sci*, 2011, 1226: 34–49. DOI: 10.1111/j.1749-6632.2011.06039.x.
- [9] XU H, MA B X, JIANG J Z, et al. Integrated prodrug micelles with two-photon bioimaging and pH-triggered drug delivery for cancer theranostics [J]. *Regen Biomater*, 2020, 7(2): 171–180. DOI: 10.1093/rb/rbz035.
- [10] CHEN L L, XU S, LI W, et al. Tumor-acidity activated surface charge conversion of two-photon fluorescent nanoprobe for enhanced cellular uptake and targeted imaging of intracellular hydrogen peroxide [J]. *Chem Sci*, 2019, 10(40): 9351–9357. DOI: 10.1039/C9SC03781K.
- [11] DE LA CRUZ-LÓPEZ K G, CASTRO-MUÑOZ L J, REYES-HERNÁNDEZ D O, et al. Lactate in the regulation of tumor microenvironment and therapeutic approaches [J]. *Front Oncol*, 2019, 9: 1143. DOI: 10.3389/fonc.2019.01143.
- [12] GARCÍA-CAÑAVERAS J C, CHEN L, RABINOWITZ J D. The tumor metabolic microenvironment: lessons from lactate [J]. *Cancer Res*, 2019, 79(13): 3155–3162. DOI: 10.1158/0008-5472.CAN-18-3726.
- [13] LEE S H, MCINTYRE D, HONESS D, et al. Carbonic anhydrase IX is a pH-stat that sets an acidic tumour extracellular pH *in vivo* [J]. *Br J Cancer*, 2018, 119(5): 622–630. DOI: 10.1038/s41416-018-0216-5.
- [14] HUNT J F, EARNEST T N, BOUSCHÉ O, et al. A biophysical study of integral membrane protein folding [J]. *Biochemistry*, 1997, 36(49): 15156–15176. DOI: 10.1021/bi970146j.
- [15] SON S M, YUN J, LEE S H, et al. Therapeutic effect of pH-LIP-mediated *CEACAM6* gene silencing in lung adenocarcinoma [J]. *Sci Rep*, 2019, 9(1): 11607. DOI: 10.1038/s41598-019-48104-5.
- [16] KAPLAN A R, PHAM H, LIU Y F, et al. Ku80-targeted pH-sensitive peptide-PNA conjugates are tumor selective and sensitize cancer cells to ionizing radiation [J]. *Mol Cancer Res*, 2020, 18(6): 873–882. DOI: 10.1158/1541-7786.MCR-19-0661.
- [17] ZHANG H J, ZHAO X, CHEN L J, et al. pH-driven targeting nanoprobe with dual-responsive drug release for persistent luminescence imaging and chemotherapy of tumor [J]. *Anal Chem*, 2020, 92(1): 1179–1188. DOI: 10.1021/acs.analchem.9b04318.
- [18] KARABADZHAK A G, AN M, YAO L, et al. pH-LIP-FIRE, a cell insertion-triggered fluorescent probe for imaging tumors demonstrates targeted cargo delivery *in vivo* [J]. *ACS Chem Biol*, 2014, 9(11): 2545–2553. DOI: 10.1021/cb500388m.
- [19] CHENG C J, BAHAL R, BABAR I A, et al. MicroRNA silencing for cancer therapy targeted to the tumour microenvironment [J]. *Nature*, 2015, 518(7537): 107–110. DOI: 10.1038/nature13905.
- [20] BRITO J, GOLIJANIN B, KOTT O, et al. Ex-vivo imaging of upper tract urothelial carcinoma using novel pH low insertion peptide (variant 3), a molecular imaging probe [J]. *Urology*, 2020, 139: 134–140. DOI: 10.1016/j.urology.2019.01.008.
- [21] BURNS K E, THÉVENIN D. Down-regulation of PAR1 activity with a pH-LIP-based allosteric antagonist induces cancer cell death [J]. *Biochem J*, 2015, 472(3): 287–295. DOI: 10.1042/BJ20150876.
- [22] BURNS K E, ROBINSON M K, THÉVENIN D. Inhibition of cancer cell proliferation and breast tumor targeting of pH-LIP-monomethyl auristatin E conjugates [J]. *Mol Pharm*, 2015, 12(4): 1250–1258. DOI: 10.1021/mp500779k.
- [23] BURNS K E, MCCLEEREY T P, THÉVENIN D. pH-selective cytotoxicity of pH-LIP-antimicrobial peptide conjugates [J]. *Sci Rep*, 2016, 6: 28465. DOI: 10.1038/srep28465.
- [24] WYATT L C, MOSHNIKOVA A, CRAWFORD T, et al. Peptides of pH-LIP family for targeted intracellular and extracellular delivery of cargo molecules to tumors [J]. *Proc Natl Acad Sci USA*, 2018, 115(12): E2811–E2818. DOI: 10.1073/pnas.1715350115.

校稿: 李征 王娟

**本文引用格式:** 陈月华, 王振光, 李大成, 等. 低 pH 插入肽-蛋白酶激活受体 1 复合物抑制三阴性乳腺癌 MDA-MB-231 细胞增殖的实验研究 [J]. 肿瘤药学, 2023, 13(2): 167–172. DOI: 10.3969/j.issn.2095-1264.2023.02.06.

**Cite this article as:** CHEN Yuehua, WANG Zhenguang, LI Dacheng, et al. The inhibitory effects of pH-LIP-P1AP on the proliferation of triple-negative breast cancer MDA-MB-231 cells [J]. Anti-tumor Pharmacy, 2023, 13(2): 167–172. DOI: 10.3969/j.issn.2095-1264.2023.02.06.